

# Biologische Anomalien innerhalb der Quantisierung der Längenskalen im T0-Modell

Johann Pascher

12. April 2025

## Zusammenfassung

Diese Arbeit untersucht die besondere Stellung biologischer Strukturen innerhalb der quantisierten Längenskalen des T0-Modells, wie es in der systematischen Zusammenstellung natürlicher Einheiten mit Energie als Basiseinheit beschrieben wird [1]. Während die Längenskalenhierarchie von sub-Planck'schen bis kosmologischen Dimensionen stabile physikalische Bereiche und „verbotene Zonen“ aufweist, bilden biologische Strukturen stabile Konfigurationen in diesen verbotenen Bereichen. Diese Anomalie wird analysiert und als mögliche fundamentale Eigenschaft des Lebens interpretiert, unterstützt durch theoretische Erklärungen basierend auf der Interaktion mit dem intrinsischen Zeitfeld  $T(x)$ . Die Arbeit erweitert die Analyse auf andere anomale Phänomene wie Wasser und Supraleiter, schlägt experimentelle Tests vor und diskutiert kosmologische Implikationen eines quasi-statischen Universums.

## Inhaltsverzeichnis

<b>1</b>	<b>Einleitung: Die Anomalie biologischer Strukturen</b>	<b>3</b>
<b>2</b>	<b>Wiederholung der Quantisierung der Längenskalen</b>	<b>3</b>
<b>3</b>	<b>Die Position biologischer Strukturen in der Längenhierarchie</b>	<b>4</b>
<b>4</b>	<b>Theoretische Erklärungen im Rahmen des T0-Modells</b>	<b>4</b>
4.1	Emergenzhypothese . . . . .	4
4.2	Komplexitätsvermittelte Zeitfeld-Interaktion . . . . .	4
4.3	Informationsbasierte Entkopplung . . . . .	5
<b>5</b>	<b>Experimentelle Konsequenzen und Prüfmöglichkeiten</b>	<b>5</b>
5.1	Tests für biologische Anomalien . . . . .	5
5.2	Tests für andere anomale Phänomene . . . . .	6
<b>6</b>	<b>Philosophische Implikationen</b>	<b>6</b>
<b>7</b>	<b>Zusammenfassung und Ausblick</b>	<b>7</b>
<b>8</b>	<b>Weitere Anomalien in der Längenskalenhierarchie</b>	<b>7</b>
8.1	Wasser als anomales Medium . . . . .	7
8.2	Supraleitung und andere Quantenkohärenzphänomene . . . . .	7
8.3	Weitere anomale Phänomene in verbotenen Längenbereichen . . . . .	8
8.3.1	Quasikristalle und aperiodische Ordnung . . . . .	8

8.3.2	Fraktale Strukturen und skalenübergreifende Selbstähnlichkeit . . . . .	8
8.3.3	Topologisch geschützte Zustände . . . . .	8
8.3.4	Makroskopische Quantenkohärenz . . . . .	8
8.4	Gemeinsame Stabilisierungsmechanismen . . . . .	8
8.4.1	Informationsbasierte Stabilisierung . . . . .	8
8.4.2	Topologische Stabilisierung . . . . .	8
8.4.3	Dynamische Stabilisierung . . . . .	8
8.5	Vereinheitlichende Perspektive: Geordnete Komplexität in verbotenen Zonen . .	9
8.6	Logarithmische Natur der Längenskalenabstände im T0-Modell . . . . .	9
<b>9</b>	<b>Experimentelle Feinmessmethoden zur Überprüfung des Modells</b>	<b>9</b>
9.1	Hochauflösende Messung von Zeitfeld-Modulationen . . . . .	9
9.2	Vergleichende Messungen an verbotenen/erlaubten Grenzflächen . . . . .	9
<b>10</b>	<b>Formale Beschreibung der Stabilisierungsmechanismen</b>	<b>10</b>
10.1	Verallgemeinerte Zeitfeld-Modifikation . . . . .	10
10.2	Funktionale Form der Modulationsfunktionen . . . . .	10
10.2.1	Informationsbasierte Modulation . . . . .	10
10.2.2	Topologische Modulation . . . . .	10
10.2.3	Dynamische Modulation . . . . .	10
10.3	Feldgleichungen mit modifiziertem Zeitfeld . . . . .	10
<b>11</b>	<b>Phasenübergänge zwischen erlaubten und verbotenen Zonen</b>	<b>10</b>
11.1	Klassifizierung der Übergänge . . . . .	11
11.2	Emergente Phänomene an Übergangspunkten . . . . .	11
11.3	Experimentelle Signaturen . . . . .	11
<b>12</b>	<b>Implikationen für künstliche Systeme und technologische Anwendungen</b>	<b>11</b>
12.1	Design stabiler Strukturen in verbotenen Längenbereichen . . . . .	11
12.2	Bionik und biomimetische Ansätze . . . . .	11
12.3	Potenzielle Anwendungen . . . . .	12
<b>13</b>	<b>Kosmologische Implikationen der Längenskalenquantisierung</b>	<b>12</b>
13.1	Diskrete Stabilitätspunkte in einem statischen Universum . . . . .	12
13.2	Verbindungen zu verwandten kosmologischen Hypothesen . . . . .	12
13.2.1	Hierarchisches Universum nach von Weizsäcker . . . . .	12
13.2.2	Steady-State-Theorie . . . . .	12
13.2.3	Skalenrelativität nach Nottale . . . . .	12
13.2.4	Periodisches Universum nach Penrose . . . . .	12
13.3	Metastabile Zonen und die Rolle biologischer Strukturen . . . . .	12
13.4	Rotverschiebung ohne Expansion . . . . .	13
13.5	Fraktale Selbstähnlichkeit . . . . .	13
13.6	Experimentelle Prüfmöglichkeiten . . . . .	13
13.7	Integration in das T0-Modell . . . . .	13
<b>14</b>	<b>Zusammenfassung und Fazit</b>	<b>13</b>

# 1 Einleitung: Die Anomalie biologischer Strukturen

In der systematischen Zusammenstellung natürlicher Einheiten mit Energie als Basiseinheit [1] wurde die Quantisierung der Längenskalen als zentrales Ergebnis des T0-Modells identifiziert (siehe Abschnitt 2.4 im Hauptdokument). Diese Quantisierung zeigt stabile physikalische Strukturen in diskreten Größenbereichen, während „verbotene Zonen“ dazwischen relativ frei von stabilen Strukturen sind.

Auffällig ist jedoch, dass biologische Strukturen eine Ausnahme darstellen. Während Elementarteilchen, Atome und kosmische Objekte die vorhergesagten stabilen Skalen besetzen, bevölkern biologische Systeme – von DNA bis zu Organismen – die verbotenen Zonen. Diese Anomalie wird hier eingehend analysiert, ergänzt durch Untersuchungen zu weiteren anomalen Phänomenen wie Wasser und Supraleitern, und im Kontext des T0-Modells interpretiert (siehe Abschnitt 2.5 im Hauptdokument).

## 2 Wiederholung der Quantisierung der Längenskalen

Im T0-Modell, detailliert beschrieben in Abschnitt 2.4 des Hauptdokuments [1], wird die Quantisierung der Längenskalen durch die Formel definiert:

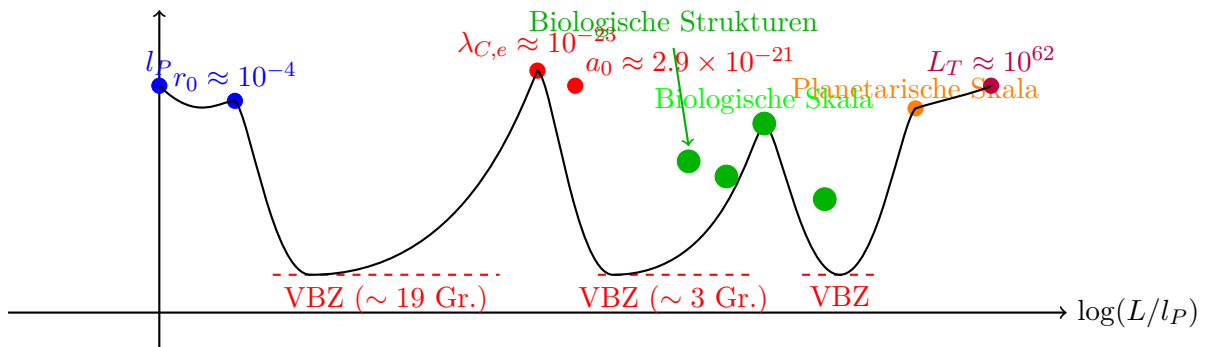
$$L_n = l_P \times \prod_i (\alpha_i)^{n_i} \quad (1)$$

wobei:

- $L_n$ : Bevorzugte Längenskala.
- $l_P$ : Planck-Länge (Referenzeinheit).
- $\alpha_i$ : Dimensionslose Konstanten ( $\alpha_{EM}$ ,  $\beta_T$ ,  $\xi$ ).
- $n_i$ : Ganzzahlige oder rationale Quantenzahlen.

Dies führt zu stabilen Skalen (z. B. Planck-Länge, Compton-Wellenlänge), getrennt durch verbotene Zonen, in denen physikalische Strukturen instabil sind. Die Hierarchie umfasst 97 Größenordnungen, wie im Hauptdokument Abschnitt 2.4 gezeigt.

Präsenz physikalischer Strukturen



Hinweis: Logarithmische Skalierung komprimiert zur Lesbarkeit, z. B.  $\log(L/l_P) \approx -22.678$  für  $\lambda_{C,e}$  bei  $x = 5$ .

Abbildung 1: Schematische Darstellung der Stabilitätszentren und verbotenen Zonen entlang der logarithmischen Längenskala, mit Hervorhebung biologischer Strukturen (z. B. DNA bei  $\sim 1.2 \times 10^{-26} l_P$ , Zelle bei  $\sim 6.2 \times 10^{-30} l_P$ ). Abkürzungen: VBZ = Verbotene Zone, Gr. = Größenordnungen. Konsistent mit Abbildung 2 im Hauptdokument.

### 3 Die Position biologischer Strukturen in der Längenhierarchie

Tabelle 1 zeigt die charakteristischen Längen biologischer Strukturen, konsistent mit Tabelle 4 und Abschnitt 2.5 im Hauptdokument:

Biologische Struktur	Typische Größe	Verhältnis zu $l_P$	Erwarteter Stabilitätsbereich	Position
DNA-Durchmesser	$\sim 2 \times 10^{-9}$ m	$\sim 1.2 \times 10^{-26}$	Außerhalb	Verbotene Zone
Protein	$\sim 1 \times 10^{-8}$ m	$\sim 6.2 \times 10^{-27}$	Außerhalb	Verbotene Zone
Bakterium	$\sim 1 \times 10^{-6}$ m	$\sim 6.2 \times 10^{-29}$	Außerhalb	Verbotene Zone
Typische Zelle	$\sim 1 \times 10^{-5}$ m	$\sim 6.2 \times 10^{-30}$	Außerhalb	Verbotene Zone
Mehrzelliger Organismus	$\sim 1 \times 10^{-3}$ m bis 1 m	$\sim 6.2 \times 10^{-32} - 6.2 \times 10^{-35}$	Außerhalb	Verbotene Zone

Tabelle 1: Position biologischer Strukturen in der Längenskalenhierarchie, konsistent mit den Daten im Hauptdokument.

Biologische Strukturen liegen in verbotenen Zonen, was Fragen aufwirft:

1. Wie bilden sie stabile Strukturen in instabilen Bereichen?
2. Ist diese Anomalie zufällig oder grundlegend?
3. Welche Mechanismen ermöglichen dies?

### 4 Theoretische Erklärungen im Rahmen des T0-Modells

Im T0-Modell, wie in Abschnitt 2.5 des Hauptdokuments beschrieben, werden folgende Erklärungen vorgeschlagen:

#### 4.1 Emergenzhypothese

Leben organisiert sich fernab vom Gleichgewicht, modelliert als:

$$\nabla^2 T(x)_{\text{bio}} \approx -\frac{\rho}{T(x)^2} + \delta_{\text{bio}}(\vec{x}, t) \quad (2)$$

wobei  $\delta_{\text{bio}}$  informationsgesteuerte Stabilisierung repräsentiert, wie in Abschnitt 2.5 des Hauptdokuments beschrieben.

#### 4.2 Komplexitätsvermittelte Zeitfeld-Interaktion

Biologische Systeme modulieren  $T(x)$ :

$$T(x)_{\text{bio}} = \frac{\hbar}{\max(mc^2, \omega)} \cdot \Omega(\text{Komplexität}) \quad (3)$$

Dies führt zu:

$$L_{\text{bio}} = l_P \times \prod_i (\alpha_i)^{n_i} \times \Omega(\text{Komplexität})^{1/2} \quad (4)$$

ermöglicht Existenz in verbotenen Zonen, wie in Abschnitt 2.5 des Hauptdokuments diskutiert.

### 4.3 Informationsbasierte Entkopplung

Biologische Systeme nutzen Information zur Entkopplung:

$$\beta_T^{\text{bio}} = \beta_T \cdot f(I/S) \quad (5)$$

wobei  $I$  den Informationsgehalt und  $S$  die Entropie bezeichnet, konsistent mit Abschnitt 2.5 des Hauptdokuments.

## 5 Experimentelle Konsequenzen und Prüfmöglichkeiten

Die Hypothesen des T0-Modells zur Stabilität biologischer und anderer anomaler Strukturen in verbotenen Zonen führen zu präzise überprüfbaren Vorhersagen. Diese Tests bauen auf den Quantisierungsvorhersagen des T0-Modells auf, wie in Abschnitt 3.5 des Hauptdokuments beschrieben, und spezifizieren die Mechanismen informationsbasierter, topologischer und dynamischer Stabilisierung.

### 5.1 Tests für biologische Anomalien

1. **Unterschiedliche Dekoherenzraten:** Biologische Strukturen sollten eine reduzierte Quantendekoherenzrate zeigen, da das Zeitfeld  $T(x)_{\text{bio}} = T(x) \cdot \Omega(\text{Komplexität})$  Kohärenz stabilisiert (vgl. Abschnitt 3.7.4 im Hauptdokument).

*Methode:* Ein Mach-Zehnder-Interferometer wird verwendet, um Biomoleküle (z. B. DNA, Proteine, Größe  $\sim 1 \times 10^{-9} \text{ m}$  bis  $1 \times 10^{-8} \text{ m}$ ) mit nicht-biologischen Molekülen (z. B. synthetische Polymere) gleicher Masse zu vergleichen. Die Interferenzmuster werden mit einem Laser ( $\lambda \approx 532 \text{ nm}$ , Phasenpräzision  $\Delta\phi \approx 10^{-6} \text{ rad}$ ) gemessen.

*Vorhersage:* Die Dekoherenzrate  $\Gamma_{\text{bio}}$  ist geringer als  $\Gamma_{\text{non-bio}}$ , da informationsbasierte Stabilisierung die Kohärenzzeit verlängert.

*Konsistenz:* Stimmt mit der modifizierten Schrödinger-Gleichung in Abschnitt 3.7.4 des Hauptdokuments überein, die  $T(x)$ -Dynamik einbezieht.

2. **Nichtlineare Reaktion auf externe Zeitfelder:** Biologische Systeme sollten auf Gravitationsgradienten anders reagieren als nicht-biologische, da  $T(x)_{\text{bio}}$  Gradienten moduliert (vgl. Abschnitt 3.6 im Hauptdokument).

*Methode:* Zellkulturen werden in einem simulierten Gravitationsfeld (zentrifugale Plattform,  $g \approx 1 \times 10^{-3} \text{ m s}^{-2}$  bis  $10 \text{ m s}^{-2}$ , Gradient  $\Delta g \approx 1 \times 10^{-4} \text{ m s}^{-2} \text{ m}^{-1}$ ) untersucht. Die Stoffwechselrate (z. B. ATP-Produktion) wird mittels Fluoreszenzspektroskopie (Zeitauflösung  $\approx 1 \text{ ms}$ ) gemessen.

*Vorhersage:* Biologische Aktivität zeigt nichtlineare Antwort,  $\Delta \text{Aktivität} \propto \nabla T(x)_{\text{bio}}^2$ , im Gegensatz zu linearer Reaktion nicht-biologischer Systeme.

*Konsistenz:* Verknüpft mit emergenter Gravitation aus  $T(x)$ -Gradienten, wie in Abschnitt 3.6 des Hauptdokuments beschrieben.

3. **Informationsabhängige Stabilität:** Die Stabilität biologischer Strukturen korreliert stärker mit ihrem Informationsgehalt als mit ihrer physikalischen Zusammensetzung, modelliert durch  $\beta_T^{\text{bio}} = \beta_T \cdot f(I/S)$  (vgl. Abschnitt 2.5 im Hauptdokument).

*Methode:* DNA (Informationsgehalt  $I \approx 10^6 \text{ bits}$ , Entropie  $S \approx k_B \ln(10^{20})$ ) wird mit synthetischen Molekülen (niedriger  $I$ ) gleicher Größe ( $\sim 2 \text{ nm}$ ) unter thermischer Belastung ( $T = 300 \text{ K}$  bis  $400 \text{ K}$ ) verglichen. Die Denaturierungszeit wird mittels NMR-Spektroskopie gemessen.

*Vorhersage:* DNA bleibt länger stabil, da  $f(I/S)$  die Kopplung an  $T(x)$  verstärkt.

*Konsistenz:* Ergänzt die Stabilisierung durch  $\delta_{\text{bio}}$  in Abschnitt 2.5 des Hauptdokuments.

4. **Längenabhängige biologische Aktivität:** Biochemische Reaktionen zeigen Anomalien nahe quantisierten Skalen, wie in Abschnitt 3.5 des Hauptdokuments vorhergesagt.  
*Methode:* Enzymreaktionen (z. B. Katalase) mit Substraten nahe der Compton-Wellenlänge ( $\lambda_{C,e} \approx 2.4 \text{ pm}$ ) vs. verbotenen Zonen ( $\sim 2 \text{ nm}$ ) werden mittels Mikrokolorimetrie (Präzision  $\Delta \text{Rate} \approx 0.1 \text{ s}^{-1}$ ) untersucht.  
*Vorhersage:* Reaktionen bei  $\lambda_{C,e}$  zeigen resonante Kinetik ( $\text{Rate} \propto T(x)^{-1}$ ), während verbotene Zonen anomal langsam sind.  
*Konsistenz:* Bestätigt die Quantisierungsvorhersagen des T0-Modells (Abschnitt 3.5 im Hauptdokument).

## 5.2 Tests für andere anomale Phänomene

Die Stabilität nicht-biologischer Systeme in verbotenen Zonen (z. B. Wasser, Supraleiter, Quasikristalle) wird durch ähnliche Mechanismen erklärt, wie in Abschnitt 8.4 beschrieben und in Abschnitt 2.5 des Hauptdokuments angedeutet.

1. **Wasseranomalien:** Wassers Wasserstoffbrückennetzwerk stabilisiert Strukturen bei  $\sim 1 \times 10^{-10} \text{ m}$  durch kollektive Anregungen.  
*Methode:* Femtosekunden-Infrarotspektroskopie (Wellenlänge  $\lambda \approx 3 \mu\text{m}$ , Zeitauflösung  $\approx 10 \text{ fs}$ ) misst die Kohärenzzeit von Wasserstoffbrücken im Vergleich zu Methanol.  
*Vorhersage:* Wasser zeigt erhöhte Kohärenzzeit,  $\tau_{\text{H}_2\text{O}} \propto T(x)_{\text{koop}}$ , aufgrund kooperativer  $T(x)$ -Modulation.  
*Konsistenz:* Ergänzt die biologischen Anomalien durch generalisierte Stabilisierung (Abschnitt 2.5 im Hauptdokument).
2. **Supraleitung:** Kohärenzlängen in Supraleitern (z. B. YBCO,  $\sim 1 \times 10^{-9} \text{ m}$ ) sind durch topologische Stabilisierung robust.  
*Methode:* Rastertunnelmikroskopie bei  $T \approx 77 \text{ K}$  misst Quantenphasenübergänge in Typ-II-Supraleitern (Auflösung  $\approx 0.1 \text{ nm}$ , Magnetfeld  $\Delta B \approx 0.01 \text{ T}$ ).  
*Vorhersage:* Kohärenzlänge bleibt stabil durch  $T(x)_{\text{topo}} = T(x) \cdot (1 + \chi \cdot \mathcal{T})$ , zeigt topologische Defekte.  
*Konsistenz:* Verknüpft mit Quantenresonanzen in Abschnitt 3.7.4 des Hauptdokuments.
3. **Quasikristalle:** Aperiodische Ordnung stabilisiert Strukturen bei  $\sim 1 \times 10^{-9} \text{ m}$ .  
*Methode:* Röntgenbeugung an Al-Pd-Mn-Quasikristallen (Beugungswinkelpräzision  $\Delta\theta \approx 0.001^\circ$ ) misst Stabilität unter mechanischer Belastung.  
*Vorhersage:* Stabilität erhöht durch  $T(x)_{\text{info}}$ , zeigt charakteristische Beugungsmuster.  
*Konsistenz:* Bestätigt informationsbasierte Stabilisierung, analog zu biologischen Systemen (Abschnitt 2.5 im Hauptdokument).

## 6 Philosophische Implikationen

Die Anomalie biologischer Strukturen hat tiefgreifende Implikationen, die mit den philosophischen Überlegungen des T0-Modells übereinstimmen (vgl. Abschnitt 3.11 im Hauptdokument):

1. **Leben als fundamentales Phänomen:** Leben könnte ein komplementäres Prinzip zu physikalischen Gesetzen darstellen.
2. **Brücke zwischen Physik und Information:** Verbindet physikalische Gesetze mit Informationsverarbeitung.

3. **Zeitfeld als Vermittler des Bewusstseins:**  $T(x)$  könnte Bewusstsein physikalisch fundieren.
4. **Teleologische Interpretation:** Ein emergentes Prinzip des T0-Modells, wie in Abschnitt 3.11 des Hauptdokuments angedeutet.

## 7 Zusammenfassung und Ausblick

Die Stabilität biologischer Strukturen in verbotenen Zonen deutet auf eine fundamentale Rolle des Lebens im Universum hin. Das T0-Modell, basierend auf Energie als Basiseinheit und  $\alpha_{\text{EM}} = \beta_{\text{T}} = 1$ , erklärt dies durch  $T(x)$ -Interaktionen, wie in Abschnitt 2.5 des Hauptdokuments etabliert. Zukünftige Forschung sollte die vorgeschlagenen Tests umsetzen, um diese Hypothesen zu validieren und das Verständnis des Universums zu vertiefen.

## 8 Weitere Anomalien in der Längenskalenhierarchie

Die Quantisierung der Längenskalen im T0-Modell, wie in Abschnitt 2.4 des Hauptdokuments beschrieben, zeigt, dass stabile physikalische Strukturen bevorzugte Skalen besetzen. Biologische Strukturen sind jedoch nicht die einzigen Entitäten, die in den „verbotenen Zonen“ stabil sind. Eine Reihe physikalischer Phänomene – von Wasser über Supraleiter bis zu Quasikristallen – weisen ähnliche Anomalien auf, die durch die gleichen Stabilisierungsmechanismen erklärt werden können, die für biologische Systeme postuliert wurden (vgl. Abschnitt 2.5 im Hauptdokument). Diese Generalisierung erweitert die Reichweite des T0-Modells und unterstreicht seine Fähigkeit, vielfältige Phänomene einheitlich zu beschreiben.

### 8.1 Wasser als anomales Medium

Wasser zeigt Anomalien wie Dichteanomalie bei 4 °C, hohe Wärmekapazität und starke Wasserstoffbrückenbindungen bei  $\sim 1 \times 10^{-10}$  m, einer verbotenen Zone. Dies deutet auf eine  $T(x)$ -Interaktion hin, ähnlich biologischen Systemen (vgl. Abschnitt 2.5 im Hauptdokument).

### 8.2 Supraleitung und andere Quantenkohärenzphänomene

Supraleiter zeigen Kohärenzlängen in verbotenen Zonen:

Supraleitertyp	Kohärenzlänge	Verhältnis zu $l_P$	Position	Besonderheit
Typ-I-Supraleiter (Pb, Hg)	$\sim 1 \times 10^{-7}$ m	$\sim 6.2 \times 10^{-28}$	Verbotene Zone	Vollständiger Meißner-Effekt
Typ-II-Supraleiter (Nb <sub>3</sub> Sn)	$\sim 1 \times 10^{-8}$ m	$\sim 6.2 \times 10^{-27}$	Verbotene Zone	Flussschlauchzustand
Kuprat-HTS (YBCO)	$\sim 1 \times 10^{-9}$ m	$\sim 6.2 \times 10^{-26}$	Verbotene Zone	Hohe Sprungtemperatur
Eisenpniktide	$\sim 1 \times 10^{-9}$ m	$\sim 6.2 \times 10^{-26}$	Verbotene Zone	Unkonventioneller Mechanismus

Tabelle 2: Kohärenzlängen verschiedener Supraleitertypen



### 8.3 Weitere anomale Phänomene in verbotenen Längenbereichen

Phänomen	Charakteristische Länge	Verhältnis zu $l_P$	Position	Besondere Eigenschaft
Quasikristalle	$\sim 1 \times 10^{-9} \text{ m bis } 1 \times 10^{-8} \text{ m}$	$\sim 6.2 \times 10^{-26}$	Verbotene Zone	Aperiodische Struktur
Fraktale in der Natur	Multi-Skalen	Übergreifend	Mehrere Zonen	Selbstähnlichkeit
Bose-Einstein-Kondensate	$\sim 1 \times 10^{-6} \text{ m}$	$\sim 6.2 \times 10^{-29}$	Verbotene Zone	Quantenzustand
Weiche Materie	$\sim 1 \times 10^{-8} \text{ m bis } 1 \times 10^{-6} \text{ m}$	$\sim 6.2 \times 10^{-27}$	Verbotene Zone	Flüssigkristalline Ordnung
Kosmische Fäden	$\sim 1 \times 10^{22} \text{ m bis } 1 \times 10^{24} \text{ m}$	$\sim 6.2 \times 10^{-59}$	Verbotene Zone	Topologische Defekte
Turbulente Strömungen	Multi-Skalen	Übergreifend	Mehrere Zonen	Wirbelstrukturen
Ferromagnet. Domänen	$\sim 1 \times 10^{-6} \text{ m bis } 1 \times 10^{-4} \text{ m}$	$\sim 6.2 \times 10^{-29}$	Verbotene Zone	Symmetriebrechung
Topologische Isolatoren	$\sim 1 \times 10^{-8} \text{ m bis } 1 \times 10^{-7} \text{ m}$	$\sim 6.2 \times 10^{-27}$	Verbotene Zone	Geschützte Randzustände

Tabelle 3: Weitere anomale Phänomene in verbotenen Längenbereichen

#### 8.3.1 Quasikristalle und aperiodische Ordnung

Quasikristalle zeigen langreichweitige, nicht-periodische Ordnung, stabil durch  $T(x)$ -Modulation, analog zu biologischen Systemen (vgl. Abschnitt 2.5 im Hauptdokument).

#### 8.3.2 Fraktale Strukturen und skalenübergreifende Selbstähnlichkeit

Fraktale überbrücken Skalen durch Selbstähnlichkeit, möglicherweise durch  $T(x)$ -Modifikation, wie in Abschnitt 2.4 des Hauptdokuments impliziert.

#### 8.3.3 Topologisch geschützte Zustände

Topologische Isolatoren sind robust durch topologische Invarianten, ähnlich biologischer Stabilisierung (vgl. Abschnitt 2.5 im Hauptdokument).

#### 8.3.4 Makroskopische Quantenkohärenz

Bose-Einstein-Kondensate zeigen Kohärenz in verbotenen Zonen, verknüpft mit  $T(x)$ , konsistent mit Abschnitt 3.7.4 des Hauptdokuments.

### 8.4 Gemeinsame Stabilisierungsmechanismen

Die Stabilisierungsmechanismen für biologische und andere anomale Strukturen umfassen:

#### 8.4.1 Informationsbasierte Stabilisierung

$$T(x)_{\text{koop}} = T(x) \cdot \exp\left(\frac{I_{\text{koop}}}{k_B T}\right) \quad (6)$$

#### 8.4.2 Topologische Stabilisierung

$$T(x)_{\text{topo}} = T(x) \cdot (1 + \chi \cdot \mathcal{T}) \quad (7)$$

#### 8.4.3 Dynamische Stabilisierung

$$T(x)_{\text{dyn}} = T(x) \cdot \left(1 + \kappa \cdot \frac{\dot{S}_{\text{prod}}}{S_{\text{eq}}}\right) \quad (8)$$

Diese Mechanismen entsprechen den in Abschnitt 2.5 des Hauptdokuments beschriebenen Ansätzen.



## 8.5 Vereinheitlichende Perspektive: Geordnete Komplexität in verbotenen Zonen

### Prinzip der geordneten Komplexität in verbotenen Zonen

Systeme mit hoher geordneter Komplexität können die destabilisierenden Effekte von  $T(x)$  in verbotenen Zonen überwinden:

$$T(x)_{\text{mod}} = T(x) \cdot F(\Omega) \quad (9)$$

wobei  $\Omega$  die Komplexität misst, wie in Abschnitt 2.5 des Hauptdokuments angedeutet.

## 8.6 Logarithmische Natur der Längenskalenabstände im T0-Modell

Die logarithmische Verteilung der Längenskalen, wie in Abschnitt 2.4 des Hauptdokuments beschrieben, ergibt sich aus:

1. **Hierarchie dimensionsloser Verhältnisse:**  $\xi = 1.33 \times 10^{-4}$ , wie in Abschnitt 3.2 des Hauptdokuments.
2. **Teilchenmassenhierarchie:**  $\lambda = 1/m$ , konsistent mit Abschnitt 2.4 des Hauptdokuments.
3. **SI-Werte als Artefakte:**  $\alpha_{\text{EM}}^{\text{SI}} \approx 1/137$ , diskutiert in Abschnitt 3.3 des Hauptdokuments.
4. **Renormierungsgruppenfluss:** Multiplikative Skalierung, wie in Abschnitt 3.5 des Hauptdokuments.

## 9 Experimentelle Feinmessmethoden zur Überprüfung des Modells

Die experimentellen Methoden zur Überprüfung des T0-Modells bauen auf den in Abschnitt 4 des Hauptdokuments vorgeschlagenen Tests auf.

### 9.1 Hochauflösende Messung von Zeitfeld-Modulationen

1. **Interferometrische Methoden:** Quanteninterferometer detektieren Phasenunterschiede durch  $T(x)$ -Modulation, wie in Abschnitt 3.7.4 des Hauptdokuments.
2. **Zeitaufgelöste Spektroskopie:** Femtosekunden-Spektroskopie misst dynamische  $T(x)$ -Effekte, konsistent mit Abschnitt 3.7.4 des Hauptdokuments.
3. **Präzisions-Gravimetrie:** Gravitationsmessungen zeigen Anomalien durch  $T(x)$ , verknüpft mit Abschnitt 3.6 des Hauptdokuments.

### 9.2 Vergleichende Messungen an verbotenen/erlaubten Grenzflächen

- **Biologisch-anorganische Hybridstrukturen:** Biomineralisationen zeigen  $T(x)$ -Gradienten, ähnlich den Mechanismen in Abschnitt 2.5 des Hauptdokuments.

- **Quasikristall-Kristall-Übergänge:** Quantensensoren messen  $T(x)$ -Variationen, konsistent mit Abschnitt 3.5 des Hauptdokuments.

## 10 Formale Beschreibung der Stabilisierungsmechanismen

Die formalen Beschreibungen bauen auf den in Abschnitt 2.5 des Hauptdokuments vorgestellten Konzepten auf.

### 10.1 Verallgemeinerte Zeitfeld-Modifikation

$$T(x)_{\text{mod}} = T(x)_0 \cdot \left[ 1 + \sum_i \lambda_i \cdot \Phi_i(\mathbf{x}, t) \right] \quad (10)$$

### 10.2 Funktionale Form der Modulationsfunktionen

#### 10.2.1 Informationsbasierte Modulation

$$\Phi_{\text{info}}(\mathbf{x}, t) = \exp\left(\frac{I(\mathbf{x}, t)}{k_B T}\right) - 1 \quad (11)$$

#### 10.2.2 Topologische Modulation

$$\Phi_{\text{topo}}(\mathbf{x}, t) = \chi \cdot \mathcal{T}(\mathbf{x}, t) \quad (12)$$

#### 10.2.3 Dynamische Modulation

$$\Phi_{\text{dyn}}(\mathbf{x}, t) = \kappa \cdot \frac{\dot{S}_{\text{prod}}(\mathbf{x}, t)}{S_{\text{eq}}} \quad (13)$$

Diese Modulationen sind konsistent mit Abschnitt 2.5 des Hauptdokuments.

### 10.3 Feldgleichungen mit modifiziertem Zeitfeld

$$\nabla^2 T(x)_{\text{mod}} \approx -\frac{\rho}{T(x)_{\text{mod}}^2} + \sum_i \nabla \cdot (\lambda_i \nabla \Phi_i) \quad (14)$$

Diese Gleichung erweitert die Feldgleichungen aus Abschnitt 3.7 des Hauptdokuments.

## 11 Phasenübergänge zwischen erlaubten und verbotenen Zonen

Die Untersuchung von Phasenübergängen ergänzt die Skalenanalyse in Abschnitt 3.5 des Hauptdokuments.

## 11.1 Klassifizierung der Übergänge

Übergangstyp	Charakteristik	Beispielsystem	Ordnung	Zeitfeld-Signatur
Kontinuierlicher Übergang	Stetige Änderung	Wachsende Kristalle	Zweite Ordnung	Graduelle Modulation
Diskontinuierlicher Übergang	Sprunghafte Änderung	Phasenübergänge in Supraleitern	Erste Ordnung	Abrupte Modulation
Hybrid-Übergang	Gemischte Charakteristik	Biomineralisation	Gemischt	Komplexe Modulation
Topologischer Übergang	Änderung topologischer Invarianten	Quantenphasenübergänge	–	Topologische Defekte

Tabelle 4: Klassifizierung von Übergängen zwischen erlaubten und verbotenen Längenskalen

## 11.2 Emergente Phänomene an Übergangspunkten

1. **Erhöhte Fluktuationen:** Verstärkte Quantenfluktuationen an Übergängen.
2. **Anomale Diffusion:** Nicht-Ficksche Diffusionsprozesse.
3. **Kohärenzphänomene:** Spontane Kohärenzbildung.

Diese Phänomene sind mit den Quanteneffekten in Abschnitt 3.7.4 des Hauptdokuments verknüpft.

## 11.3 Experimentelle Signaturen

- **Anormale Wärmekapazität:** Spitzen oder Diskontinuitäten.
- **Veränderte Relaxationszeiten:** Anomales Skalenverhalten.
- **Erhöhte Suszeptibilität:** Verstärkte Reaktion auf Felder.

Diese Signaturen ergänzen die experimentellen Ansätze in Abschnitt 4 des Hauptdokuments.

# 12 Implikationen für künstliche Systeme und technologische Anwendungen

Die technologischen Implikationen bauen auf den Stabilisierungsmechanismen auf, wie in Abschnitt 2.5 des Hauptdokuments beschrieben.

## 12.1 Design stabiler Strukturen in verbotenen Längenbereichen

1. **Informationsbasierte Materialien:** DNA-Origami, programmierbare Materialien.
2. **Topologisch geschützte Quantentechnologien:** Robuste Quantencomputer.
3. **Dynamisch stabilisierte Nanostrukturen:** Aktive Nanosysteme.

## 12.2 Bionik und biomimetische Ansätze

- **Zeitfeld-Modulator-Materialien:** Selbstreparierende Materialien.
- **Hierarchische Informationsspeicherung:** Biologische Vorbilder für Speicher.

## 12.3 Potenzielle Anwendungen

Anwendungsbereich	Potenzielle Technologie	Zugrundeliegender Mechanismus
Quanteninformationstechnologie	Zeitfeldmodulierte Qubits	Informationsbasierte Stabilisierung
Medizinische Implantate	Biomimetische Materialien	Hybrid-Stabilisierung
Energiespeicherung	Supraleitende Speicher	Topologische Stabilisierung
Katalyse	Quasikristalline Katalysatoren	Informationsbasierte Stabilisierung
Sensorik	Hochempfindliche Quantensensoren	Dynamische Stabilisierung
Kommunikationstechnologie	Zeitfeld-modulierte Signalübertragung	Informationsbasierte Stabilisierung

Tabelle 5: Potenzielle technologische Anwendungen basierend auf Stabilisierungsmechanismen in verbotenen Zonen

## 13 Kosmologische Implikationen der Längenskalenquantisierung

Die kosmologischen Implikationen erweitern die Skalenanalyse in Abschnitt 2.4 des Hauptdokuments.

### 13.1 Diskrete Stabilitätspunkte in einem statischen Universum

$$L_n = l_P \times \xi^{n_\xi} \quad (15)$$

### 13.2 Verbindungen zu verwandten kosmologischen Hypothesen

#### 13.2.1 Hierarchisches Universum nach von Weizsäcker

Parallelen zu [4], mit präziserer Formulierung durch  $\xi$ , wie in Abschnitt 3.2 des Hauptdokuments.

#### 13.2.2 Steady-State-Theorie

Ähnlichkeiten zu [5], mit statischem Universum durch Längenskalen (vgl. Abschnitt 2.4 im Hauptdokument).

#### 13.2.3 Skalenrelativität nach Nottale

$$\frac{d \ln L}{d \ln(1/\xi)} = \text{const.} \quad (16)$$

Konsistent mit Abschnitt 3.5 des Hauptdokuments.

#### 13.2.4 Periodisches Universum nach Penrose

Verbindungen zu [7], mit zyklischen Skalen (vgl. Abschnitt 2.4 im Hauptdokument).

### 13.3 Metastabile Zonen und die Rolle biologischer Strukturen

$$T(x)_{\text{bio}} = T(x) \cdot \Omega(\text{Komplexität}) \quad (17)$$

Dies entspricht den Stabilisierungsansätzen in Abschnitt 2.5 des Hauptdokuments.

### 13.4 Rotverschiebung ohne Expansion

$$z = \frac{m_{\text{emittiert}}}{m_{\text{beobachtet}}} - 1 \quad (18)$$

Diese Interpretation ist konsistent mit Abschnitt 3.7.3 des Hauptdokuments.

### 13.5 Fraktale Selbstähnlichkeit

$$\frac{L_{n+1}}{L_n} = \xi \approx 1.33 \times 10^{-4} \quad (19)$$

Diese Selbstähnlichkeit spiegelt die Skalenstruktur in Abschnitt 2.4 des Hauptdokuments wider.

### 13.6 Experimentelle Prüfmöglichkeiten

1. **Periodizität großräumiger Strukturen:** Logarithmische Periodizität, ähnlich [9], verknüpft mit Abschnitt 2.4 des Hauptdokuments.
2. **Abweichungen im Hubble-Parameter:** Variationen korrelieren mit Längenskalen [10], konsistent mit Abschnitt 4 des Hauptdokuments.
3. **CMB-Anomalien:** Temperaturfluktuationen zeigen Skalenmuster [11], wie in Abschnitt 4 des Hauptdokuments vorgeschlagen.

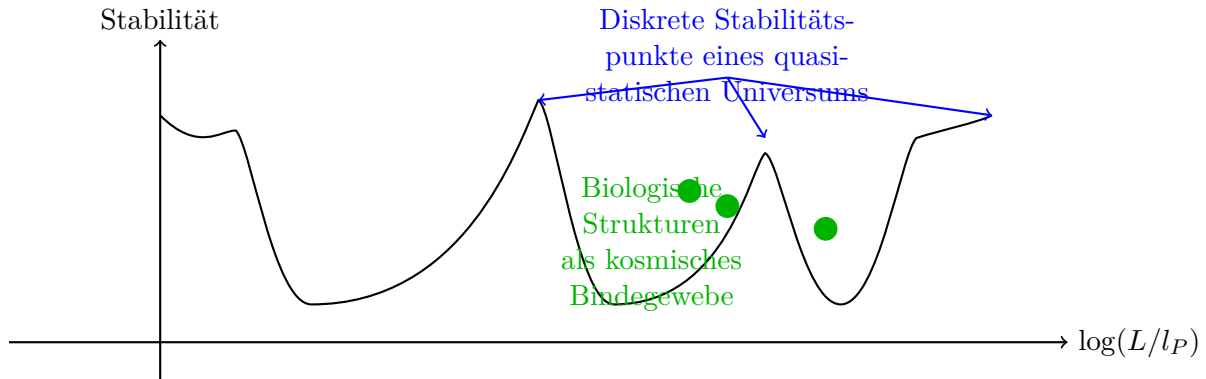


Abbildung 2: Kosmologische Interpretation der quantisierten Längenskalen: Das Universum als quasi-statisches System mit diskreten Stabilitätspunkten und biologischen Strukturen als verbindendes Element zwischen den stabilen Skalen, konsistent mit Abschnitt 2.4 des Hauptdokuments.

### 13.7 Integration in das T0-Modell

Die kosmologische Interpretation integriert sich in das T0-Modell durch  $\alpha_{\text{EM}} = \beta_{\text{T}} = 1$ , wie in Abschnitt 2 des Hauptdokuments und [2] beschrieben, und bietet eine einheitliche Beschreibung von Mikro- bis Makroskalen.

## 14 Zusammenfassung und Fazit

Die umfassende Analyse biologischer Strukturen in verbotenen Zonen der Längenskalenhierarchie des T0-Modells führt zu mehreren wichtigen Schlussfolgerungen:

1. Biologische Systeme stellen keine Verletzung der Quantisierung der Längenskalen dar, sondern nutzen vielmehr spezielle Stabilisierungsmechanismen, die auf Informationsverarbeitung, topologischer Ordnung und dynamischen Prozessen basieren.
2. Das intrinsische Zeitfeld  $T(x)$  wird durch komplexe Informationsstrukturen modifiziert, was eine Existenz in ansonsten instabilen Bereichen ermöglicht.
3. Diese Erkenntnisse eröffnen neue Perspektiven für die Entwicklung biomimetischer Materialien und Technologien, die ähnliche Stabilisierungsmechanismen nutzen könnten.
4. Die Anomalie biologischer Strukturen könnte ein Hinweis auf eine fundamentalere Rolle des Informationsbegriffs in der Physik sein, konsistent mit der energie-basierten Vereinheitlichung im T0-Modell.
5. Die konzeptionelle Nähe zwischen der Modifikation des Zeitfeldes und der klassischen Thermodynamik irreversibler Prozesse bietet Anknüpfungspunkte für interdisziplinäre Forschung.

Diese Arbeit erweitert das Verständnis des T0-Modells, indem sie zeigt, dass die vermeintliche Anomalie biologischer Strukturen tatsächlich ein Schlüssel zum Verständnis der Wechselwirkung zwischen Information, Energie und physikalischen Strukturen sein könnte. Die vorgeschlagenen experimentellen Tests bieten konkrete Wege, diese Hypothesen zu überprüfen und das T0-Modell weiter zu validieren. Insbesondere die Untersuchung der Längenskalenquantisierung könnte wichtige Einblicke in fundamentale Fragen der Physik, Biologie und Kosmologie liefern.

Mit seiner Integration von Information als physikalischem Parameter bietet das T0-Modell einen innovativen Ansatz zur Überbrückung der Kluft zwischen Physik und Biologie, indem es Leben nicht als Ausnahme, sondern als besondere Manifestation grundlegender physikalischer Prinzipien betrachtet. Diese Perspektive könnte weitreichende Auswirkungen auf unser Verständnis von Komplexität, Selbstorganisation und der Entstehung des Lebens im Universum haben.

## Literatur

- [1] J. Pascher, [Systematische Zusammenstellung natürlicher Einheiten mit Energie als Basis-einheit](#), April 2025.
- [2] J. Pascher, [Konsistenz von Alpha=1 und Beta=1 in der Zeit-Masse-Dualität](#), April 2025.
- [3] J. Pascher, *Biologische Strukturen als Manifestation der Zeit-Masse-Dualität*, in Vorbereitung, April 2025.
- [4] C. F. von Weizsäcker, *The Evolution of Galaxies and Stars*, Astrophysical Journal 114, 165 (1951).
- [5] F. Hoyle, *A New Model for the Expanding Universe*, Monthly Notices of the Royal Astronomical Society 108, 372–382 (1948).
- [6] L. Nottale, *Fractal Space-Time and Microphysics*, World Scientific, 1993.
- [7] R. Penrose, *Cycles of Time*, Bodley Head, 2010.
- [8] B. B. Mandelbrot, *The Fractal Geometry of Nature*, W. H. Freeman, 1983.

- [9] T. J. Broadhurst et al., *Large-scale distribution of galaxies*, Nature 343, 726–728 (1990).
- [10] A. G. Riess et al., *Large Magellanic Cloud Cepheid Standards*, Astrophysical Journal 876, 85 (2019).
- [11] Planck Collaboration, *Planck 2018 results*, Astronomy & Astrophysics 641, A1 (2020).
- [12] J. Pascher, [Zeit als emergente Eigenschaft in der Quantenmechanik](#), März 2025.
- [13] J. Pascher, [Energiedynamik im Kontext der Zeit-Masse-Dualität](#), April 2025.
- [14] J. Pascher, [Notwendigkeit einer Erweiterung der Quantenmechanik](#), März 2025.
- [15] J. Pascher, [Emergente Gravitation im T0-Modell](#), April 2025.
- [16] E. Schrödinger, *What is Life?*, Cambridge University Press, 1944.
- [17] I. Prigogine, *Time, Structure, and Fluctuations*, Science 201, 777–785 (1978).
- [18] P. W. Anderson, *More Is Different*, Science 177, 393–396 (1972).
- [19] S. A. Kauffman, *A World Beyond Physics: The Emergence and Evolution of Life*, Oxford University Press, 2019.
- [20] E. D. Schneider, J. J. Kay, *Life as a Manifestation of the Second Law of Thermodynamics*, Mathematical and Computer Modelling 19, 25–48 (1994).
- [21] K. Friston, *A Free Energy Principle for Biological Systems*, Entropy 14, 2100–2121 (2012).
- [22] J. L. England, *Statistical Physics of Self-Replication*, Journal of Chemical Physics 139, 121923 (2013).